

# АЛГОРИТМ ПОСТРОЕНИЯ ФОРМ ОБЪЕМА НА ТОРИЧЕСКИХ МНОГООБРАЗИЯХ ПО ВЫПУКЛОМУ ЦЕЛОЧИСЛЕННОМУ МНОГОГРАННИКУ

© 2015 г. А. А. Кытманов\*, А. В. Щуплев\*, Т. В. Зыкова\*

\*Сибирский федеральный университет

660041 Красноярск, пр. Свободный, 79

E-mail: aakytm@gmail.com, alexey.shchuplev@gmail.com, zykovatv@mail.ru

Поступила в редакцию 10.07.2015

Приводится метод и соответствующий алгоритм построения форм объема на торических многообразиях и связанных с ними форм, служащих ядрами интегральных представлений, по выпуклому целочисленному многограннику. Алгоритм реализован в системе компьютерной алгебры Maple. Полученные формы объема являются аналогами формы объема метрики Фубини-Штуди на комплексном проективном пространстве и могут быть использованы для построения интегральных представлений для голоморфных функций в поликруговых областях многомерного комплексного пространства.

## 1. ВВЕДЕНИЕ

Торические многообразия представляют собой объекты алгебраической геометрии, имеющие достаточно простую (в зависимости от налагаемых ограничений) комбинаторную структуру. Они широко используются для решения актуальных задач многомерного комплексного анализа, в частности для построения интегральных представлений в областях многомерного комплексного пространства и вычетов. Специальные функции на торических многообразиях находят многочисленные применения в математической физике и в теории особенностей [12, 13]. Методы построения таких довольно сложных объектов, тем не менее, полностью основаны на комбинаторной структуре торических многообразий (см. [1, 3, 4]) и могут быть реализованы с помощью четко предписанных алгоритмов (см., например, [6, 8, 15]). Вычисления, необходимые для достижения результата, являются, за исключением простейших примеров, трудоемкими и громоздкими, что делает актуальной задачу создания соответствующего алгоритма и его программной реализации. Реализация алгоритма в одной из систем компьютерной алгебры позволяет произ-

водить вычисления с выражениями, содержащими параметры и, таким образом, получать параметрические классы искоемых объектов.

Проективные симплицальные торические многообразия, рассматриваемые в работе, кодируются выпуклыми целочисленными многогранниками — многогранниками Ньютона. Такой  $n$ -мерный многогранник может быть задан списком координат своих вершин и списком наборов вершин, задающих его  $(n - 1)$ -мерные грани (гиперграни).

В данной работе мы приводим алгоритм построения формы объема на торическом многообразии и соответствующего ей ядра интегрального представления с помощью метода, описанного в [15] и реализованного в системе компьютерной алгебры Maple.

Основной алгоритм может быть представлен в виде следующих составляющих, приведенных в работе в виде отдельных алгоритмов: построение веера торического многообразия по многограннику Ньютона; построение торического многообразия по его вееру; построение формы объема и соответствующей дифференциальной формы — ядра интегрального представления по характеристикам торического многообразия.

## 2. ИЗВЕСТНЫЕ ФАКТЫ

Известно, что ядро интегрального представления Бохнера-Мартинелли в  $\mathbb{C}^{n+1}$  тесно связано с формой Фубини-Штуди для проективного пространства  $\mathbb{P}^n = \mathbb{C}\mathbb{P}^n$  следующим образом:

$$\eta_{BM}(z) = \frac{1}{2\pi i} \frac{d\lambda}{\lambda} \wedge \omega_{FS}([\xi]) \quad (2.1)$$

(см., например, [5, с. 400]; [10, с. 162]). Здесь  $\eta_{BM}$  — форма Бохнера-Мартинелли

$$\eta_{BM}(z) = \frac{n!}{(2\pi i)^{n+1}} \sum_{k=1}^{n+1} (-1)^{k-1} \frac{\bar{z}_k}{|z|^{2n+2}} d\bar{z}[k] \wedge dz,$$

$dz = dz_1 \wedge \dots \wedge dz_{n+1}$ ,  $d\bar{z}[k]$  получается из  $d\bar{z}$  вычеркиванием дифференциала  $d\bar{z}_k$ . Форма  $\omega_{FS}([\xi])$  — форма объема метрики Фубини-Штуди в  $\mathbb{P}_n$  (см. [14, с. 21])

$$\omega_{FS}([\xi]) = \frac{n!}{(2\pi i)^n} \frac{E(\xi) \wedge \overline{E(\xi)}}{|\xi|^{2(n+1)}}, \quad (2.2)$$

где

$$E(\xi) = \sum_{k=1}^{n+1} (-1)^{k-1} \xi_k d\xi[k]$$

где  $E(\xi) = \sum_{k=1}^{n+1} (-1)^{k-1} \xi_k d\xi[k]$  — форма Эйлера,  $\xi = (\xi_1, \dots, \xi_{n+1})$  — однородные координаты точки  $[\xi] \in \mathbb{P}^n$ . При этом  $\xi, z \in \mathbb{C}^{n+1}$  и  $\lambda \in \mathbb{C}$  связаны соотношением  $z = \lambda\xi$ .

Форма Бохнера-Мартинелли есть “эталонная” форма степени  $2n + 1$  в множестве  $\mathbb{C}^{n+1} \setminus \{0\}$ , которое является расслоением над  $\mathbb{P}^n$  со слоем — одномерным тором  $\mathbb{C}_* = \mathbb{C} \setminus \{0\}$ . Другими словами,  $\mathbb{P}_n = [\mathbb{C}^{n+1} \setminus \{0\}]/G$ , где  $G = \{(\lambda, \dots, \lambda) \in \mathbb{C}^{n+1} : \lambda \in \mathbb{C}_*\}$  — группа преобразований, образованная диагональными матрицами. Таким образом, между формой Бохнера-Мартинелли и проективным пространством существует связь: ядро представления (2.1) представляет собой произведение формы объема на базовом многообразии, умноженным на ядро Коши в слое.

Проективное пространство есть частный случай торического многообразия. В общем случае  $n$ -мерное торическое многообразие является фактор-пространством (см. [1])

$$X = (\mathbb{C}^d \setminus Z(\Sigma)) / G.$$

Здесь  $Z(\Sigma)$  представляет собой объединение некоторых координатных подпространств в  $\mathbb{C}^d$ , а  $G$  — группа, изоморфная тору  $(\mathbb{C}_*)^r$ ,  $r = d - n$ . Фактически, действие группы определяет отношение эквивалентности, которое определяет классы эквивалентности — элементы фактор-пространства. Множество  $Z$  и группа  $G$  могут быть построены по вееру  $\Sigma \subset \mathbb{R}^n$  с  $d$  образующими или по двойственному ему выпуклому целочисленному многограннику. Более подробно понятия веера, множества  $Z(\Sigma)$  и группы  $G$  приведены в следующем параграфе.

В работах [6, 8, 7] были рассмотрены различные методы построения форм объема на торических многообразиях и эталонных форм в  $\mathbb{C}^d$ .

## 3. ТОРИЧЕСКИЕ МНОГООБРАЗИЯ

Существует несколько подходов к определению торического многообразия, однако все конструкции основываются на том факте, что алгебраические свойства торического многообразия закодированы комбинаторным объектом — веером.

Пусть  $N$  — решетка, изоморфная  $\mathbb{Z}^n$ . Подмножество  $\sigma \subset N \otimes_{\mathbb{Z}} \mathbb{R} \simeq \mathbb{R}^n$  называется *строго выпуклым рациональным полиэдральным конусом*, если существует конечный набор элементов  $v_1, \dots, v_s$  решетки  $N$ , порождающий  $\sigma$ , то есть

$$\sigma = \{a_1 v_1 + \dots + a_s v_s : a_i \in \mathbb{R}, a_i \geq 0\},$$

и конус  $\sigma$  не содержит нетривиальных линейных подпространств.

Грань конуса  $\sigma$  — это такое его подмножество  $\tau$ , для которого некоторые из  $a_i$  в определении  $\sigma$  равны нулю, такое отношение обозначается  $\tau < \sigma$ . Размерностью конуса называется размерность минимального подпространства в  $\mathbb{R}^n$ , содержащего этот конус. Конус  $\sigma$  называется симплицальным, если его генераторы можно выбрать линейно независимыми.

Веер  $\Sigma$  в  $\mathbb{R}^n$  — это непустой конечный набор строго выпуклых рациональных полиэдральных конусов в  $N \otimes_{\mathbb{Z}} \mathbb{R}$ , для которого выполняются следующие условия:

1. грани конуса  $\sigma \in \Sigma$  также принадлежат  $\Sigma$ ;
2. пересечение двух конусов из  $\Sigma$  является гранью каждого из них.

Множество  $|\Sigma| = \bigcup_{\sigma \in \Sigma} \sigma$  называется носителем веера  $\Sigma$ .

Размерность веера равна максимальной размерности его конусов. Если все конусы веера симплицеальны, то и веер называется симплицеальным. Если носитель веера в  $\mathbb{R}^n$  совпадает со всем пространством, то веер называется полным.

Каждые  $n$ -мерный веер  $\Sigma$  соответствует некоторому  $n$ -мерному торическому многообразию  $X_\Sigma$ . Пусть конуса  $\Sigma$  порождены  $d$  минимальными целочисленными образующими (векторами)  $v_1, \dots, v_d \in N$ . Сопоставим каждому вектору  $v_i$  комплексную переменную  $\zeta_i$  и рассмотрим для  $n$ -конуса  $\sigma \in \Sigma$  моном

$$\zeta_\sigma := \prod_{\substack{j \in \{1, \dots, d\} \\ v_j \notin \sigma}} \zeta_j.$$

Обозначим  $Z(\Sigma) \subset \mathbb{C}^d$  нулевое множество идеала, порожденного мономами  $\zeta_\sigma$  в  $\mathbb{C}[\zeta_1, \dots, \zeta_d]$ , то есть

$$Z(\Sigma) = \{ \zeta \in \mathbb{C}^d : \zeta_\sigma = 0 \\ \forall n\text{-мерных конусов } \sigma \in \Sigma \}.$$

Очевидно, что  $Z(\Sigma)$  состоит из координатных плоскостей различных размерностей.

В том случае, если  $n$ -мерный веер симплицеальный и полный, существует эквивалентная конструкция  $Z(\Sigma)$  [2]. Набор одномерных образующих  $\mathcal{P} = \{v_{i_1}, \dots, v_{i_k}\}$  называется примитивным, если они все вместе не порождают никакого конуса из  $\Sigma$ , но любой собственный поднабор порождает. Тогда множество  $Z(\Sigma)$  совпадает с набором координатных плоскостей

$$Z(\Sigma) = \bigcup_{\mathcal{P}} \{ \zeta_{i_1} = \dots = \zeta_{i_k} = 0 \},$$

объединение здесь берется по всем примитивным наборам.

Группа  $G$ , действующая на  $\mathbb{C}^d \setminus Z(\Sigma)$ , по определению равна

$$\text{Hom}_{\mathbb{Z}}(A_{n-1}(X_\Sigma), \mathbb{C}_*),$$

где  $A_{n-1}(X_\Sigma)$  — группа классов дивизоров многообразия  $X_\Sigma$ , то есть фактор группы главных дивизоров  $X_\Sigma$  по подгруппе дивизоров рациональных функций. В общем случае вычислить

эту группу трудно, однако для торического многообразия, ассоциированного с  $\Sigma$ , согласно [4] и [3], она вычисляется из точной последовательности

$$0 \longrightarrow M \xrightarrow{\nu} \mathbb{Z}^d \longrightarrow A_{n-1}(X_\Sigma) \longrightarrow 0,$$

где  $M \simeq \mathbb{Z}^n$  — это решетка, двойственная  $N$ , а отображение  $\nu$  задается  $\nu(m) = (\langle m, v_1 \rangle, \dots, \langle m, v_d \rangle)$ . Поэтому группа классов дивизоров равна

$$A_{n-1}(X) \simeq \mathbb{Z}^d / \nu(M)$$

и является суммой свободной абелевой группы ранга  $r = d - n$  и конечной абелевой группы.

Если хотя бы один  $n$ -мерный конус в  $\Sigma$  примитивный, то есть его образующие порождают всю решетку, то  $A_{n-1}(X_\Sigma) \simeq \mathbb{Z}^d / \nu(M) \simeq \mathbb{Z}^r$  согласно

$$x \longrightarrow (k_1(x), \dots, k_r(x)),$$

где  $k_1(x), \dots, k_r(x)$  — линейные формы, определяющие  $n$ -мерное ядро  $\nu$ . Группа  $G$  тогда изоморфна  $\mathbb{C}_*^r$ .

Для описания действия группы рассмотрим решетку соотношений между образующими конусов  $\Sigma$ . Другими словами,  $r$  линейно независимых соотношений между  $v_1, \dots, v_d$  над  $\mathbb{Z}$ :

$$\begin{cases} a_{11}v_1 + \dots + a_{1d}v_d = 0, \\ \dots \\ a_{r1}v_1 + \dots + a_{rd}v_d = 0. \end{cases} \quad (3.1)$$

Линейные формы этих соотношений совпадают с формами  $k_j$ , определяющими ядро  $\nu$ . Действие  $G$  на  $\mathbb{C}^d \setminus Z(\Sigma)$  задается значениями гомоморфизмов на классах базисных элементов  $D_1, \dots, D_d$  решетки  $\mathbb{Z}^d$  в  $A_{n-1}(\Sigma)$

$$g \cdot \zeta = (g([D_1])\zeta_1, \dots, g([D_d])\zeta_d).$$

Таким образом, группа  $G$  определяет на  $\mathbb{C}^d \setminus Z(\Sigma)$  отношение эквивалентности

$$\xi \sim \zeta \Leftrightarrow \exists \lambda \in \mathbb{C}_*^r : \\ \xi = (\lambda_1^{a_{11}} \dots \lambda_r^{a_{r1}} \zeta_1, \dots, \lambda_1^{a_{1d}} \dots \lambda_r^{a_{rd}} \zeta_d). \quad (3.2)$$

Согласно [3], если веер  $\Sigma$  симплицеальный, то фактор-пространство

$$X_\Sigma = (\mathbb{C}^d \setminus Z(\Sigma)) / G,$$

где  $Z(\Sigma)$  и  $G$  построены выше, есть алгебраическое многообразие, и  $\zeta$  — однородные координаты классов  $[\zeta]$ . Мы берем это представление за определение симплицального торического многообразия.

---

**Алгоритм 1** Алгоритм построения двойственного веера к многограннику

---

**Input:** Список  $vert\_list$  координат вершин многогранника; список  $face\_list$  наборов вершин, образующих  $(n - 1)$ -мерные грани (гиперграни) многогранника.

**Output:** Список  $vec\_list$  векторов — одномерных образующих двойственного веера, список  $cone\_list$  наборов векторов, задающих конусы максимальной размерности двойственного веера.

```

1: procedure POLYTOPE_FAN( $vert\_list$ ,
    $face\_list$ )
2:    $m :=$  число элементов в  $vert\_list$ 
3:    $n :=$  длина  $vert\_list[1]$   $\triangleright$  длины
    $vert\_list[i]$  должны совпадать для всех  $i$ 
4:    $d :=$  число элементов в  $face\_list$ 
5:    $vec\_list :=$  пустой список
6:    $t := 0$ 
7:   for  $i = 1 \dots d$  do
8:      $nv :=$  внутренняя нормаль к гипергран-
   ни  $face\_list[i]$ 
9:     добавить элемент  $nv$  в  $vec\_list$ 
10:  end for
11:   $cone\_list :=$  пустой список
12:  for  $i = 1 \dots m$  do
13:     $cone :=$  пустой список
14:    for  $j = 1 \dots d$  do
15:      if  $i \in face\_list[j]$  then
16:        добавить элемент  $j$  в  $cone$ 
17:      end if
18:    end for
19:    добавить элемент  $cone$  в  $cone\_list$ 
20:  end for
21:  return  $\{vec\_list, cone\_list\}$ 
22: end procedure

```

---

Множество  $\mathbb{C}^d \setminus Z(\Sigma)$  можно рассматривать как расслоение над базой  $X_\Sigma$  со слоем, изоморфным  $G \simeq \mathbb{C}_*^r$ . Это позволяет построить, по аналогии с (2.1), ядро с особенностями на  $Z(\Sigma)$ , при условии, что на  $X_\Sigma$  задана форма объема. Для этого вложим  $X_\Sigma$  в торическое многообразие  $X_{\tilde{\Sigma}}$

так, чтобы множество  $\mathbb{C}^d \setminus Z(\Sigma)$  лежало в некоторой аффинной карте, а  $X_\Sigma$  лежало на бесконечности относительно нее. В этом случае однородные координаты  $X_\Sigma$  совпадают с аффинными координатами. Алгоритмическая реализация конструкции  $X_{\tilde{\Sigma}}$ , а именно, веера  $\tilde{\Sigma}$ , была предложена в [9].

Для проективных торических многообразий форма объема может быть построена естественным образом. Проективное торическое многообразие допускает замкнутое вложение в проективное пространство [4], а его веер имеет двойственный многогранник. Более того, построение многообразия удобнее начинать с многогранника. Пусть  $\Delta$  —  $n$ -мерный простой (в каждой вершине сходится  $n$  ребер) целочисленный многогранник в  $\mathbb{R}^n$ . Его двойственный веер состоит из  $n$ -мерных конусов, определенных следующим образом: для каждой вершины мы рассматриваем конус в  $N \otimes_{\mathbb{Z}} \mathbb{R}$ , порожденный внутренними нормальными к  $n$  граням, сходящимся в этой вершине. Объединение таких конусов со всеми их гранями — полный симплицальный веер.

#### 4. ФОРМЫ ОБЪЕМА

Веер  $\Sigma$ , двойственный к простому целочисленному многограннику  $\Delta$ , кодирует компактное симплицальное проективное торическое многообразие  $X_\Sigma$ . Форма объема метрики Фубини-Штуди на проективном пространстве индуцирует форму объема на  $X_\Sigma$  [15].

Занумеруем точки  $\alpha_0, \dots, \alpha_N$  многогранника  $\Delta \cap \mathbb{Z}^n$  и рассмотрим следующее вложение комплексного алгебраического тора  $\mathbb{C}_*^n$  в  $\mathbb{P}_N$

$$f: (z_1, \dots, z_n) \mapsto (\sqrt{c_{\alpha_0}} z^{\alpha_0} : \dots : \sqrt{c_{\alpha_N}} z^{\alpha_N}),$$

с произвольными неотрицательными параметрами  $c_{\alpha_j}$  такими, что многогранник Ньютона полинома Лорана

$$P(x) = \sum_{j=0}^N c_{\alpha_j} x^{\alpha_j}$$

совпадает с  $\Delta$  (для этого необходимо и достаточно того, чтобы коэффициенты мономов, соответствующих вершинам многогранника, были отличны от нуля). Замыкание образа  $f(\mathbb{C}_*^n)$  в  $\mathbb{P}_N$  есть образ  $X_\Sigma$ .

---

**Алгоритм 2** Алгоритм построения торического многообразия по вееру

---

**Input:** Список  $vec\_list$  векторов — одномерных образующих веера; список  $cone\_list$  наборов векторов, задающих конусы максимальной размерности веера.

**Output:** Число  $d$ ; список соотношений, задающих множество  $Z(\Sigma)$ ; список мономов параметров, задающих действие группы  $G$ .

```

1: procedure TORICVARIETY( $vec\_list$ ,
    $cone\_list$ )
2:    $d :=$  число элементов в  $vec\_list$ 
3:    $n :=$  длина  $vec\_list[1]$  ▷ длины
    $vec\_list[i]$  должны совпадать для всех  $i$ 
4:    $CL :=$  пустой список
5:   for  $i = 1 \dots$  длина  $cone\_list$  do
6:      $Cl :=$  пустой список
7:     for  $j = 1 \dots$  длина  $cone\_list[i]$  do
8:       добавить элемент  $v[cone\_list[i][j]]$ 
   в  $Cl$ 
9:     end for
10:    добавить элемент  $Cl$  в  $CL$ 
11:  end for
12:   $LR :=$  список всех линейно-независимых
   соотношений на векторы из  $vec\_list$ 
13:   $M :=$  матрица коэффициентов системы
    $LR$ 
14:   $r := d - n$ 
15:   $M_G :=$  пустой список
16:  for  $i = 1 \dots d$  do
17:     $g := \lambda_1^{a_{1i}} \dots \lambda_r^{a_{ri}}$ , где  $(a_{1i}, \dots, a_{ri})$  —  $i$ -й
   столбец  $M$ 
18:    добавить элемент  $g$  в  $M_G$ 
19:  end for
20:   $PC :=$  список всех примитивных наборов
   векторов из  $cone\_list$ 
21:   $Z(\Sigma) :=$  пустой список
22:  for  $i = 1 \dots$  число элементов в  $PC$  do
23:    if  $\{i[1], \dots, i[n]\} \in PC$  then
24:      добавить соотношение  $z[i[1]] =$ 
    $\dots = z[i[n]] = 0$  в  $Z(\Sigma)$ 
25:    end if
26:  end for
27:  return  $\{d, Z(\Sigma), M_G\}$ 
28: end procedure

```

---

Метрика Фубини-Штуди  $\mathbb{P}_N$  определяет дифференциальную форму Фубини-Штуди. В однородных координатах  $\xi$  эта форма записывается следующим образом

$$\begin{aligned} \omega_{FS} &= \frac{i}{2|\xi|^4} \left( \sum_{k=0}^N |\xi_k|^2 \sum_{k=0}^N d\xi_k \wedge d\bar{\xi}_k \right. \\ &\quad \left. - \sum_{k=0}^N \bar{\xi}_k d\xi_k \wedge \sum_{k=0}^N \xi_k d\bar{\xi}_k \right) \\ &= \frac{i}{2} \partial \bar{\partial} \log |\xi|^2 = dd^c \log |\xi|^2; \end{aligned}$$

где  $d = \partial + \bar{\partial}$ ,  $d^c = \frac{i}{4}(\bar{\partial} - \partial)$ , а  $|\xi|^2$  обозначает  $|\xi_0|^2 + \dots + |\xi_N|^2$ .

Дифференциальная форма  $\omega_{FS}$  измеряет объемы всех комплексных подмногообразий  $\mathbb{P}_N$ . Именно, если  $A \subset \mathbb{P}_N$  комплексное аналитическое подмножество чистой размерности  $k$ , тогда объем  $A$  вычисляется как интеграл

$$\text{Vol}(A) = \frac{1}{k!} \int_A \omega_{FS}^k.$$

Определим  $(n, n)$ -форму  $\omega$  на торе  $\mathbb{C}_*^n$  как прообраз формы  $\omega_{FS}^n$  относительно  $f$ :

$$\omega = \frac{1}{n!} f^*(\omega_{FS}^n) = \frac{1}{n!} \left( dd^c \ln P(|z_1|^2, \dots, |z_n|^2) \right)^n.$$

Форма  $\omega$  положительна на  $\mathbb{C}_*^n \subset X_\Sigma$ , и, хотя она может обращаться в нуль в некоторых точках  $X_\Sigma$ , это не меняет величины интеграла

$$\int_{\text{reg} X_\Sigma} \omega = \int_{\mathbb{T}^n} \omega.$$

Нетрудно показать, что этот интеграл, величину которого мы называем объемом  $X_\Sigma$ , равен  $\pi^n \text{Vol}(\Delta)$  (см. [15, Prop. 3]). Однако, для построения интегрального представления, связанного с  $X_\Sigma$ , эту форму следует вычислить.

Форма  $dd^c \ln P(|z_1|^2, \dots, |z_n|^2)$  равна

$$\begin{aligned} &\frac{i}{2} \sum_{l,m=1}^n \left( \frac{\sum c_{\alpha_k} \alpha_k^l \alpha_k^m |z|^{2\alpha_k}}{\sum c_{\alpha_k} |z|^{2\alpha_k}} \right) \\ &\frac{(\sum c_{\alpha_k} \alpha_k^l |z|^{2\alpha_k}) (\sum c_{\alpha_k} \alpha_k^m |z|^{2\alpha_k})}{(\sum c_{\alpha_k} |z|^{2\alpha_k})^2} \frac{dz_l}{z_l} \wedge \frac{d\bar{z}_m}{\bar{z}_m}, \end{aligned}$$

а определитель из коэффициентов этой формы — коэффициент при  $dz_1 \wedge d\bar{z}_1 \wedge \dots \wedge dz_n \wedge d\bar{z}_n$  в  $(n, n)$ -форме  $\omega$ . Этот  $n \times n$ -определитель равен произведению

$$\left(\frac{i}{2}\right)^n \frac{1}{|z_1|^2 \dots |z_n|^2 (\sum c_{\alpha_k} |z|^{2\alpha_k})^n}$$

и следующего  $(n+1) \times (n+1)$ -определителя

$$\begin{vmatrix} 1 & \sum c_{\alpha_k} \alpha_k^1 |z|^{2\alpha_k} & \dots & \sum c_{\alpha_k} \alpha_k^n |z|^{2\alpha_k} \\ \frac{\sum c_{\alpha_k} \alpha_k^1 |z|^{2\alpha_k}}{\sum c_{\alpha_k} |z|^{2\alpha_k}} & \sum c_{\alpha_k} \alpha_k^1 \alpha_k^1 |z|^{2\alpha_k} & \dots & \sum c_{\alpha_k} \alpha_k^1 \alpha_k^n |z|^{2\alpha_k} \\ \vdots & \vdots & \ddots & \vdots \\ \frac{\sum c_{\alpha_k} \alpha_k^n |z|^{2\alpha_k}}{\sum c_{\alpha_k} |z|^{2\alpha_k}} & \sum c_{\alpha_k} \alpha_k^n \alpha_k^1 |z|^{2\alpha_k} & \dots & \sum c_{\alpha_k} \alpha_k^n \alpha_k^n |z|^{2\alpha_k} \end{vmatrix}.$$

Чтобы убедиться в этом, достаточно из каждой строки вычесть первую, умноженную на первый элемент этой строки, а затем разложить определитель по первому столбцу.

Вынесем знаменатель элементов первого столбца, матрица оставшегося определителя равна произведению двух матриц

$$\begin{pmatrix} \sqrt{c_{\alpha_0}} z^{\alpha_0} & \dots & \sqrt{c_{\alpha_N}} z^{\alpha_N} \\ \alpha_0^1 \sqrt{c_{\alpha_0}} z^{\alpha_0} & \dots & \alpha_N^1 \sqrt{c_{\alpha_N}} z^{\alpha_N} \\ \vdots & \ddots & \vdots \\ \alpha_0^n \sqrt{c_{\alpha_0}} z^{\alpha_0} & \dots & \alpha_N^n \sqrt{c_{\alpha_N}} z^{\alpha_N} \end{pmatrix} \times \begin{pmatrix} \sqrt{c_{\alpha_0}} \bar{z}^{\alpha_0} & \dots & \alpha_0^n \sqrt{c_{\alpha_0}} \bar{z}^{\alpha_0} \\ \vdots & \ddots & \vdots \\ \sqrt{c_{\alpha_N}} \bar{z}^{\alpha_N} & \dots & \alpha_N^n \sqrt{c_{\alpha_N}} \bar{z}^{\alpha_N} \end{pmatrix}$$

размера  $(n+1) \times (N+1)$  и  $(N+1) \times (n+1)$ . По формуле Коши-Бине определитель произведения равен сумме произведений определенных  $(n+1)$ -миноров этих матриц. Таким образом, форма объема  $\omega$  (без учета коэффициента  $(i/2)^n$ ) равняется

$$\frac{\sum'_{|J|=1+n} \det^2(A_J) c_{\alpha_{j_0}} \dots c_{\alpha_{j_n}} |z|^{2\alpha_{j_0} + \dots + 2\alpha_{j_n}}}{|z_1|^2 \dots |z_n|^2 P(|z|^2)^{n+1}} \times dz_1 \wedge d\bar{z}_1 \wedge \dots \wedge dz_n \wedge d\bar{z}_n, \quad (4.1)$$

где  $J = (j_0, \dots, j_n)$ , а сумма берется по всем возрастающим последовательностям индексов  $0 \leq j_0 < \dots < j_n \leq N$ ,  $A_J$  обозначает матрицу, со-

**Алгоритм 3** Алгоритм построения формы объема и соответствующего ядра интегрального представления

**Input:** Список *vert\_list* координат вершин многогранника Ньютона, список *vec\_list* векторов — одномерных образующих двойственного веера.

**Output:** Форма объема, ядро интегрального представления.

```

1: procedure Vol_Ker(vert_list, vec_list)
2:    $d :=$  число элементов в vert_list
3:    $n :=$  длина vert_list[1]  $\triangleright$  длины
   vert_list[ $i$ ] должны совпадать для всех  $i$ 
4:    $L :=$  vert_list  $\triangleright$ 
    $L = \{(l_1^1, \dots, l_n^1), \dots, (l_1^d, \dots, l_n^d)\}$ 
5:    $P(t_1, \dots, t_n) := t_1^{l_1^1} \dots t_n^{l_n^1} + \dots + t_1^{l_1^d} \dots t_n^{l_n^d}$ 
6:    $\tilde{P} := P(z_1 \bar{z}_1, \dots, z_n \bar{z}_n)$ 
7:    $M :=$  Matrix(vec_list)  $\triangleright M = (m_{ij})_{i,j}$ 
   — матрица размера  $n \times d$  с вектор-столбцами
   vec_list[ $i$ ]
8:    $A := M$  с вектор-строкой  $(1, \dots, 1)$  длины
    $d$ , добавленной сверху.
9:    $J :=$  список всех мультииндексов
    $(j_0, \dots, j_n)$ , таких что  $0 \leq j_0 < \dots < j_n \leq N$ 
10:   $S := 0$ 
11:  for  $i = 1 \dots$  длина  $J$  do
12:     $AJ[i] :=$  матрица из вектор-столбцов
   матрицы  $A$  с номерами  $J[i] = (j_0^i, \dots, j_n^i)$ 
13:     $f := 1$ 
14:    for  $k = 1 \dots n$  do
15:       $t := 0$ 
16:      for  $j = 1 \dots n+1$  do
17:         $t := t + l_j^k J[i][j]$ 
18:      end for
19:       $f := f \cdot (x_k y_k)^t$ 
20:    end for
21:     $S := S + [\det(AJ[i])]^2 \cdot f;$ 
22:  end for
23:   $t := z_1 \bar{z}_1 \dots z_n \bar{z}_n$ 
24:   $d := dz_1 \wedge d\bar{z}_1 \wedge \dots \wedge dz_n \wedge d\bar{z}_n$ 
25:   $Vol\_form := \frac{S}{t \cdot \tilde{P}^{n+1}} \cdot d$ 
26:   $\tilde{X} := \{w_1^{m_{11}} \dots w_d^{m_{1d}}, \dots, w_1^{m_{n1}} \dots w_d^{m_{nd}}\}$ 
27:   $\tilde{Y} := \{\bar{w}_1^{m_{11}} \dots \bar{w}_d^{m_{1d}}, \dots, \bar{w}_1^{m_{n1}} \dots \bar{w}_d^{m_{nd}}\}$ 
28:   $K := Vol\_form(\tilde{X}[1], \tilde{Y}[1], \dots, \tilde{X}[n], \tilde{Y}[n])$ 
29:   $Kernel := K \wedge \frac{dw_{n+1}}{w_{n+1}} \wedge \dots \wedge \frac{dw_d}{w_d}$ 
30:  return  $\{Vol\_form, Kernel\}$ 
31: end procedure

```

стоящую из соответствующих столбцов матрицы

$$A = \begin{pmatrix} 1 & \dots & 1 \\ \alpha_0^1 & \dots & \alpha_N^1 \\ \vdots & \ddots & \vdots \\ \alpha_0^n & \dots & \alpha_N^n \end{pmatrix}.$$

Одновременно мы получили новое доказательство интегральной формулы для  $\text{Vol}(\Delta)$  [11]. Действительно, переписав (4.1) в полярных координатах и проинтегрировав по угловым координатам, мы получим

$$\begin{aligned} \text{Vol}(X_\Sigma) &= (2\pi)^n \\ &\times \int_{\mathbb{R}_+^n} \frac{\sum'_{|J|=1+n} \det^2(A_J) c_{\alpha_{j_0}} \dots c_{\alpha_{j_n}} r^{2\alpha_{j_0} + \dots + 2\alpha_{j_n} + I}}{r_1^2 \dots r_n^2 P(r^2)^{n+1}} \\ &\times dr_1 \dots dr_n. \end{aligned}$$

Сделав замену  $t_j = r_j^2$  и используя [15, Prop. 3], мы приходим к

**Предложение 1.**

$$\begin{aligned} \text{Vol}(\Delta) &= \\ &\int_{\mathbb{R}_+^n} \frac{\sum'_{|J|=1+n} \det^2(A_J) c_{\alpha_{j_0}} \dots c_{\alpha_{j_n}} t^{\alpha_{j_0} + \dots + \alpha_{j_n}}}{t_1 \dots t_n P(t)^{n+1}} \times \\ &\times dt_1 \dots dt_n. \end{aligned}$$

Построим теперь «каноническую» дифференциальную форму по заданной форме объема  $\omega$  на  $X_\Sigma$ . Предположим, что образующие  $v_1, \dots, v_n$  конуса  $\sigma \in \Sigma$  образуют базис  $N$ . Через  $d\zeta_\sigma / \zeta_\sigma$  мы обозначим внешнее произведение ядер Коши по всем  $\zeta$ , кроме тех, что соответствуют образующим конуса  $\sigma$ . Тогда форма

$$\eta(\zeta) = \omega([\zeta]) \wedge \frac{d\zeta_\sigma}{\zeta_\sigma}, \tag{4.2}$$

является ядром интегрального представления в  $\mathbb{C}^d \setminus Z(\Sigma)$  (см. [15]). Отметим, что форма  $\omega$  здесь записана в однородных координатах  $\zeta$ , тогда как в формуле (4.1) выше она записана в локальных координатах  $z$  тора  $(\mathbb{C}_*)^n \subset X_\Sigma$ . Связь однородных и локальных координат дана в (3.2) и следует из соотношений (3.1) между образующими конусов в  $\Sigma$ . Таким образом, для вычисления  $\eta$  сначала следует сделать замену переменных в  $\omega$ , а затем умножить результат на  $r$ -мерное ядро Коши.

5. ПРИМЕРЫ

На следующих примерах была проведена проверка вышеописанных алгоритмов. Алгоритмы были реализованы в среде Maple 18 64bit. Полный код программы доступен по адресу <https://www.dropbox.com/s/mzfhbc362smeymv/volume.mws>. Вычисления производились на машине Intel Core i7-4790 (3.6 GHz) с 32 Gb RAM под управлением Windows 7 Enterprise x64 SP1. Время счета для приведенных примеров составило от 0.01 до 0.03 сек.

Входные данные программы совпадают с входными данными Алгоритма 1. Например, в случае многогранника, приведенного на рис. 2, программа получит на вход

$$\begin{aligned} &[[0, 0], [2, 0], [2, 1], [1, 2], [0, 2]], \\ &[[1, 2], [2, 3], [3, 4], [4, 5], [5, 1]] \end{aligned}$$

Здесь первый список представляет собой координаты вершин многогранника, указанные в произвольном порядке. Второй список состоит из наборов порядковых номерах векторов из первого списка, образующих гипергрань. Например, [1, 2] означает, что векторы [0, 0] и [2, 0] образует гипергрань (в данном случае — одномерную грань или ребро) многогранника.

**Пример 1.** Форма объема для  $\mathbb{C}\mathbb{P}_n$  и соответствующее ядро в  $\mathbb{C}^{n+1}$  ( $n = 1, 2, \dots, 10$ ).

Пусть  $\Delta$  — стандартный симплекс в  $\mathbb{R}^n$ . Его двойственный веер  $\Sigma$  с  $(n + 1)$  образующими кодирует проективное пространство  $\mathbb{P}_n$ , образующие любого конуса максимальной размерности порождают всю решетку. Форма объема  $\omega$  на проективном пространстве совпадает с формой объема метрики Фубини-Штуди (2.2), проективное пространство  $\mathbb{P}_n$  вкладывается на бесконечности в  $\mathbb{P}_{n+1}$ , а форма  $\eta$  — ядро Бохнера-Мартинелли (2.1) в  $\mathbb{C}^{n+1}$ .

Входными данными алгоритма в случае  $n = 3$  будут

$$\begin{aligned} &[[0, 0, 0], [1, 0, 0], [0, 1, 0], [0, 0, 1]], \\ &[[1, 2, 3], [1, 2, 4], [1, 3, 4], [2, 3, 4]] \end{aligned}$$

**Пример 2.** Форма объема для  $\mathbb{P}_1 \times \mathbb{P}_1$ .

Произведение двух сфер Римана является торическим многообразием, связанным с веером, изображенном на Рис. 1 (b). Возьмем многочлен

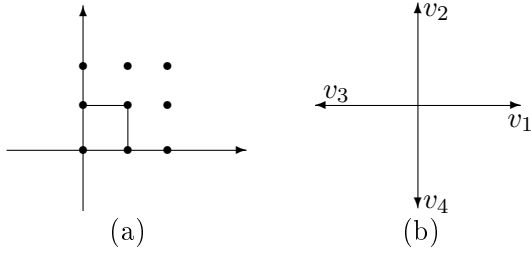


Рис. 1.: Многогранник Ньютона и двойственный веер для  $\mathbb{P}_1 \times \mathbb{P}_1$ .

$P(x_1, x_2) = 1 + x_1 + x_2 + ax_1x_2$  с положительным коэффициентом  $a$ . Его многогранник Ньютона — это квадрат в  $\mathbb{R}^2$  (Рис. 1 (а)), двойственный веер изображен на Рис. 1 (b).

Входными данными алгоритма будут

$$[[0, 0], [1, 0], [1, 1], [0, 1]], \\ [[1, 2], [2, 3], [3, 4], [4, 1]]$$

Следуя изложенной конструкции, определим дифференциальную форму на  $\mathbb{T}^2 \subset \mathbb{P}_1 \times \mathbb{P}_1$  как прообраз  $\omega_{FS}^2$  относительно отображения  $f: (z_1, z_2) \mapsto (1: z_1: z_2: \sqrt{a}z_1z_2)$ .

$$\omega = \frac{1}{2!} f^*(\omega_{FS}^2) = \\ = \left(\frac{i}{2}\right)^2 \frac{1 + a|z_1|^2 + a|z_2|^2 + a|z_1|^2|z_2|^2}{(1 + |z_1|^2 + |z_2|^2 + a|z_1|^2|z_2|^2)^3} \cdot dz_1 \wedge d\bar{z}_1 \wedge dz_2 \wedge d\bar{z}_2$$

Объем  $\mathbb{P}_1 \times \mathbb{P}_1$ , определенный этой формой, равен  $\pi^2$ . Заметим, что полученная форма не совпадает с произведением форм объема на каждом из  $\mathbb{P}_1$  (они совпадают только в случае  $a = 1$ ), хотя объем получается тот же самый.

**Пример 3.** Ядро, связанное с раздутием  $\mathbb{P}_1 \times \mathbb{P}_1$  в начале координат.

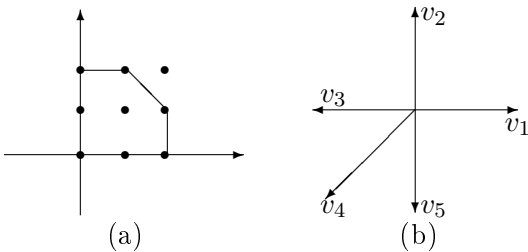


Рис. 2.: Многогранник Ньютона и двойственный веер для раздутия  $\mathbb{P}_1 \times \mathbb{P}_1$  в начале координат.

Рассмотрим многочлен  $P(z) = 1 + z_1^2 + z_2^2 + z_1^2z_2 + z_1z_2^2$  с многогранником Ньютона, изображенным на Рис. 2 (а). Двойственный веер  $\Sigma$  имеет 5 целочисленных образующих, а соответствующее торическое многообразие есть раздутие произведения  $\mathbb{P}_1 \times \mathbb{P}_1$  в начале координат.

Входные данные алгоритма приведены в начале параграфа.

Занумеруем образующие, как показано на Рис. 2 (b), тогда ядро интегрального представления равно

$$\eta = \frac{u(\zeta, \bar{\zeta})\overline{E(\zeta)}}{v(\zeta, \bar{\zeta})} \wedge d\zeta,$$

где

$$u(\zeta, \bar{\zeta}) = |\zeta_1|^8|\zeta_2|^4|\zeta_5|^4 + 4|\zeta_1|^6|\zeta_2|^4|\zeta_3|^2|\zeta_4|^2|\zeta_5|^4 + \\ + 4|\zeta_1|^6|\zeta_3|^2|\zeta_4|^6|\zeta_5|^8 + |\zeta_1|^4|\zeta_2|^8|\zeta_3|^4 + \\ + 4|\zeta_1|^4|\zeta_2|^6|\zeta_3|^4|\zeta_4|^2|\zeta_5|^2 + 9|\zeta_1|^4|\zeta_2|^4|\zeta_3|^4|\zeta_4|^4|\zeta_5|^4 + \\ + 16|\zeta_1|^4|\zeta_2|^2|\zeta_3|^4|\zeta_4|^6|\zeta_5|^6 + 16|\zeta_1|^2|\zeta_2|^4|\zeta_3|^6|\zeta_4|^6|\zeta_5|^4 + \\ + 16|\zeta_1|^2|\zeta_2|^2|\zeta_3|^6|\zeta_4|^8|\zeta_5|^6 + 4|\zeta_2|^6|\zeta_3|^8|\zeta_4|^6|\zeta_5|^2,$$

$$v(\zeta, \bar{\zeta}) = (|\zeta_3|^4|\zeta_4|^6|\zeta_5|^4 + |\zeta_1|^4|\zeta_4|^2|\zeta_5|^4 + \\ + |\zeta_2|^4|\zeta_3|^4|\zeta_4|^2 + |\zeta_1|^4|\zeta_2|^2|\zeta_5|^2 + |\zeta_1|^2|\zeta_2|^4|\zeta_3|^2)^3,$$

и

$$E(\zeta) = \zeta_3\zeta_4\zeta_5 d\zeta_1 d\zeta_2 - \zeta_2\zeta_3\zeta_5 d\zeta_1 d\zeta_4 - \zeta_2\zeta_3\zeta_4 d\zeta_1 d\zeta_5 + \\ \zeta_1\zeta_4\zeta_5 d\zeta_2 d\zeta_3 + \zeta_1\zeta_3\zeta_5 d\zeta_2 d\zeta_4 + \zeta_1\zeta_2\zeta_5 d\zeta_3 d\zeta_4 + \\ \zeta_1\zeta_2\zeta_4 d\zeta_3 d\zeta_5 + \zeta_1\zeta_2\zeta_3 d\zeta_4 d\zeta_5.$$

## 6. БЛАГОДАРНОСТИ

Исследования, представленные в работе, были выполнены при поддержке грантов РФФИ 15-31-20008-мол\_а\_вед (все авторы), 15-01-00277-а (первый автор), 14-01-00283-а (третий автор), гранта Минобрнауки РФ в рамках проектной части государственного задания 1.1462.2014/К (первый автор) и гранта Правительства Российской Федерации государственной поддержки научных исследований, проводимых под руководством ведущих ученых 14.Y26.31.0006 (второй автор).

## СПИСОК ЛИТЕРАТУРЫ



1. *Audin M.* The Topology of Torus Actions on Symplectic Manifolds. Birkhauser, Boston, Basel, Berlin, 1991.
2. *Batyrev V. V.* Quantum cohomology ring of toric manifolds. // Journées de Géométrie Algébrique d'Orsay (Orsay, 1992). Astérisque, 1993, No 218, P. 9–34.
3. *Cox D. A.* The homogeneous coordinate ring of a toric variety. // J. Alg. Geom., 1995, No 4, P. 17–50.
4. *Fulton W.* Introduction to toric varieties. Annals of Mathematics Studies, 131. Princeton University Press, Princeton, NJ, 1993.
5. *Griffiths P. and Harris J.* Principles of Algebraic Geometry. Wiley, New York, 1978.
6. *Кытманов А. А.* Об аналоге формы Фубини-Штуди для двумерных торических многообразий. // Сиб. матем. журн., 2003, Т. 44, No 2, С. 358–371.
7. *Кытманов А. А.* Алгоритм построения интегрального представления по вееру торического многообразия. // Вестник НГУ. Математика, механика, информатика, 2010, No 2, С. 61–70.
8. *Kytmanov A. A., Semusheva A. Y.* Averaging of the Cauchy kernels and integral realization of the local residue. // Mathematische Zeitschrift, 2010, V. 264, No 1, P. 87–98.
9. *Кытманов А. А., Шуплев А. В.* Алгоритм построения торических компактификаций. // Программирование, 2013, Т. 39, No 4, С. 66–71.
10. *Кытманов А. М.* Интеграл Бохнера-Мартинелли и его применения. Новосибирск: Наука, 1992.
11. *Passare M.* Amoebas, convexity and the volume of integer polytopes. // Advanced Studies in Pure Mathematics, 2004, No 42, P. 263–268.
12. *Садыхов Т. М., Цих А. К.* Гипергеометрические и алгебраические функции многих переменных. М.: Наука, 2014.
13. *Sadykov T. M.* The Hadamard product of hypergeometric series. // Bull. Sci. Math., 2002, V. 126, No 1, P. 31–43.
14. *Шабат Б. В.* Распределение значений голоморфных отображений. М.: Наука, 1982.
15. *Shchuplev A. V., Tsikh A. K., Yger A.* Residual kernels with singularities on coordinate planes. // Тр. МИАН, 2006, No 253, С. 277–295.